

07: 12

© 1992

ЗАПИСЬ ДИНАМИЧЕСКОЙ ГОЛОГРАММЫ В ПРИМЕСНЫХ ХОЛЕСТЕРИКАХ

А.Г. Ильин, Н.В. Каманина

В последнее время значительное внимание уделялось созданию нестационарных голограмм в нематических жидких кристаллах [1, 2], а также была получена индуцированная решетка в смеси нематик/холестерик при непрерывном облучении аргоновым лазером [3]. Вопрос о самодифракции в холестерических жидких кристаллах (ХЖК) с использованием резонансной оптической нелинейности является менее изученным. Отмечалось [4], что резонансная оптическая нелинейность, созданная насыщением поглощения красителя, введенного в ХЖК, дает возможность реализовать малые времена записи (< 1 нс) и довольно высокую дифракционную эффективность (до 10%).

В данной работе изучается возможность записи динамической голограммы в ХЖК на разных пространственных частотах и при различных значениях энергии записи, а также высказываются предположения о возможных механизмах релаксации созданной голограммической решетки в подобных структурах.

Исследуемые образцы представляли собой нематическую матрицу с родственной хиральной добавкой. Поглощающая примесь – кетоцианиновый краситель. Состав помешался в кювету с зазорами 1 и 3 мкм. Исходная ориентация ХЖК – планарная.

Запись и считывание решетки осуществлялось излучением второй гармоники ($\lambda = 0.53$ мкм) моноимпульсного одномодового лазера с длительностью импульса 10^{-8} с и энергией в зелени 1.2 мДж. Диаметр пятна на ячейке 1 мм. Поляризация лучей, падающих на ячейку – линейная. Лучи выравнены по интенсивности. Самодифракция наблюдалась по появлению небрэгтовских порядков. Падающее и прошедшее в первый порядок дифракции излучение регистрировалось фотодиодами. Было определено, что пропускание образцов с толщинами 1 и 3 мкм составляет 70 % и 40 %, соответственно. В зависимости пропускания от энергии записи, снятой в эксперименте, была выбрана область энергии записи более 0.3 $E_{\text{зап}}$ ($E_{\text{зап}} = 1.2$ мДж), так как при меньших значениях проявляются бистабильные свойства образцов [5].

Полученные результаты по определению дифракционной эффективности η в зависимости от энергии записи и на разных пространственных частотах представлены на рис. 1. На рис. 1, а представлены данные для образца толщиной 3 мкм. Аналогичные зависимости наблюдались авторами для образца толщиной 1 мкм, но с мень-

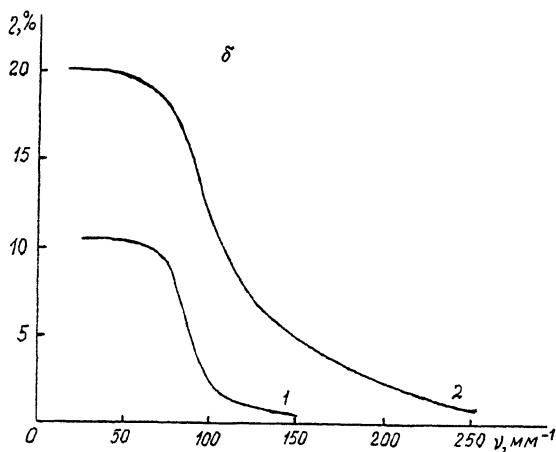
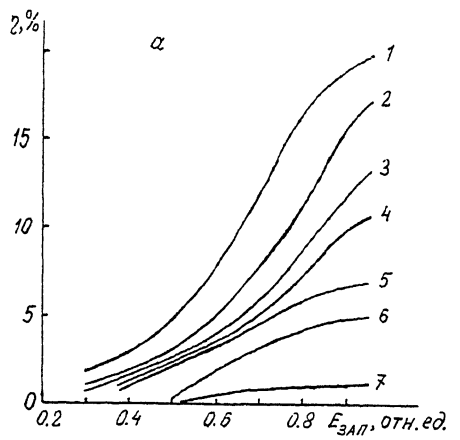


Рис. 1. Зависимость дифракционной эффективности от энергии записи (а) и пространственной частоты (б).

а – кривые 1–7 соответствуют пространственным частотам 30, 50, 75, 100, 150, 200 и 250 мм^{-1} . Энергия записи 1.2 мДж соответствует относительной величине 1 на оси абсцисс. б – кривые 1, 2 соответствуют толщинам образца 1 и 3 мкм.

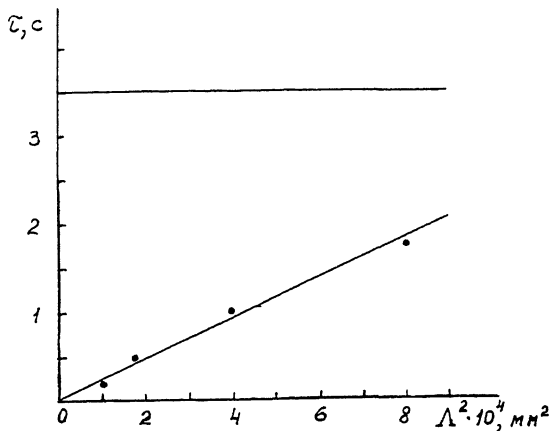


Рис. 2. Зависимость времени релаксации от квадрата периода записанной решетки.

шими значениями γ (до 10 %). Как видно из поведения кривых на рис. 1, увеличение поглощения ведет к большей перекачке энергии в первый порядок дифракции и, как следствие, к большему значению дифракционной эффективности образца. Зависимость γ от пространственной частоты (рис. 1, б) хорошо соответствует теоретическим представлениям [6].

Кроме того, изучалось время отклика системы на воздействие лазерного излучения при считывании записанной голограммы гелий-неоновым лазером ($\lambda = 0.633 \text{ мкм}$). При логарифмировании снятых осциллограмм было обнаружено, что можно выделить три области в зависимости γ от времени, которые соответствуют последовательному включению, по крайней мере, трех механизмов рассасывания решетки.

Самый большой спад дифракционной эффективности (~ 0.5 от максимума) происходит при $\tau < 0.25 \text{ мс}$ (где τ — время релаксации системы к исходному состоянию после снятия внешнего воздействия). Можно предположить, что здесь основной вклад в светоиндуцированном отклике среды при лазерном возбуждении связан с резонансной и тепловой нелинейностями. Изменение резонансной части показателя преломления растворов красителей при воздействии лазерного излучения происходит за время действия самого импульса излучения 10^{-8} с [7] и в данном процессе релаксации рассматриваться не будет.

Влияние же тепловой решетки оценим по известному соотношению [8]:

$$\frac{\Lambda}{2v_{3B}} < \tau_r < \left(\frac{\Lambda}{2\pi}\right)^2 K,$$

где τ_r - длительность импульса, инициирующего тепловую решетку, Λ - период записанной решетки, v_{3B} - скорость звука в среде, K - обратная величина температуропроводности, которая для ХЖК с красителем составляет $\sim 1.05 \cdot 10^3$ $\text{с}/\text{см}^2$ [5]. Тогда, при несущей пространственной частоте $\nu = 1/\Lambda = 50 \text{ мм}^{-1}$ получаем,

что решетка релаксирует за время $\tau \sim 0.1 \text{ мс}$, что довольно хорошо совпадает со значениями, полученными в эксперименте.

На рис. 2 представлен результат обработки осцилограмм для второй и третьей областей при разных пространственных частотах для образца толщиной 3 мкм. Видно, что времена релаксации, отвечающие второй области, образуют ряд: 330 мс, 450 мс, 1 с и 1.5 с при $\nu = 100 \text{ мм}^{-1}$, 75 мм^{-1} , 50 мм^{-1} и 30 мм^{-1} соответственно. Полученный временной интервал позволил авторам предположить, что основной вклад здесь вносит вязкость системы, что не противоречит теории Лесли-Эриксена [9] для закрученных нематиков. Постоянная времени для третьей области, возможно, связана с некоторым изменением шага спирали в холестирике, вызванном изменением температуры образца при воздействии лазерного излучения. Этот накапливаемый эффект вызывает дальнейшее увеличение эффективного значения вязкости, что может проявляться в увеличении постоянной времени. Важно отметить, что эффект памяти, связанный с третьей областью, может найти практическое применение в системах хранения и обработки информации.

Авторы благодарны В.А. Беренбергу за полезные замечания.

Список литературы

- [1] Галстян Т.В., Зельдович Б.Я., Немков Е.А., Сухов А.В. // ЖТФ. 1988. Т. 58. В. 1. С. 212-215.
- [2] Зельдович Б.Я., Пилипецкий Н.Ф., Сухов А.В. // Письма в ЖЭТФ. 1986. Т. 43. № 3. С. 122-126.
- [3] Spinney H., Lesliecki M., Ramburg M. // Appl. Phys. Lett. 1987. Т. 50. N 26. Р. 1924-1926.
- [4] Загайнова Л.И., Ильин А.Г., Климушева Г.В., Кухтарев Н.В. // Письма в ЖТФ. 1991. Т. 17. В. 21. С. 61-65.
- [5] Климушева Г.В., Загайнова Л.И., Кухтарев Н.В., Данилов В.В., Татаринов С.И. // Вести АН БССР. Секция физ.-мат. наук. 1989. № 1. С. 115-119.
- [6] Коллер Р., Беркхарт К., Лин Л. Оптическая голография. М.: Мир, 1973. 680 с.

- [7] Ивакин Е.В., Кабанов В.В., Рубанов А.С.,
Степанов Б.И. // Изв. АН СССР. Сер. „Физиче-
ская“. 1988. Т. 52. № 6. С. 1224-1231.
- [8] Зельдович Б.Я., Пилипецкий Н.Ф., Шку-
нов В.В. Обращение волнового фронта. М.: Наука, 1985.
247 с.
- [9] Адамчик А., Стругальский З. Жидкие
кристаллы. М.: Советское радио. 1979. 156 с.

Поступило в Редакцию
27 февраля 1992 г.